

УДК 546(786+742):539.26

КРИСТАЛЛИЧЕСКАЯ СТРУКТУРА ПАРАВОЛЬФРАМАТА Б НИКЕЛЯ
Ni₅[W₁₂O₄₀(OH)₂]·37H₂O

© 2011 С.В. Радио^{1*}, Г.М. Розанцев¹, В.Н. Баумер², О.В. Шишкун²

¹Донецкий национальный университет, Украина

²НТК "Институт монокристаллов" НАН Украины

Статья поступила 8 февраля 2010 г.

Из подкисленного до $Z = v(H^+)/v(WO_4^{2-}) = 1,29$ раствора системы Na₂WO₄—HNO₃—Ni(NO₃)₂—H₂O выделены зеленые кристаллы паравольфрамата Б никеля Ni₅[W₁₂O₄₀×(OH)₂]·37H₂O. Методом ИК спектроскопии показана принадлежность изополианиона к структурному типу паравольфрамата Б. Методом рентгеноструктурного анализа проведена расшифровка структуры Ni₅[W₁₂O₄₀(OH)₂]·37H₂O ($M_r = 3840,36$, моноклинный, пр. гр. $P2_1/c$, $a = 21,9061(6)$, $b = 14,9297(4)$, $c = 22,1391(6)$ Å, $\beta = 107,609(3)^\circ$, $V = 6901,4(3)$ Å³ при $T = 293$ К, $Z = 4$, $\rho_{\text{выч}} = 3,696$ г/см³, $F_{000} = 6944$, $\mu = 21,368$ мм⁻¹, $-33 \leq h \leq 33$, $-22 \leq k \leq 22$, $-33 \leq l \leq 33$; окончательные показатели факторов недостоверности по наблюдаемым отражениям $R_F = 0,0532$, $wR^2 = 0,0831$ ($R_F = 0,1088$, $wR^2 = 0,0894$ по всем независимым отражениям), $S = 0,978$; CSD-421468).

Ключевые слова: изополивольфрамат, паравольфрамат Б, кристаллическая структура, ИК спектроскопия, рентгеноструктурный анализ.

ВВЕДЕНИЕ

Получению и исследованию структур никельсодержащих полиоксометаллатов посвящено ограниченное число работ. Для никеля известно об образовании замещенных гетерополивольфрамат-анионов [Sb₂W₂₀Ni₂O₇₀(H₂O)₆]¹⁰⁻, в которых атомы никеля занимают позиции вольфрама в октаэдрах WO₆ вольфрам-кислородного каркаса лакунарного производного структуры Кеггина [1], а также об образовании гетерополисоединений [Ni₃(H₂O)₃(PW₁₀O₃₉)H₂O]⁷⁻, [Ni₄(H₂O)₂(PW₉O₃₄)₂]¹⁰⁻ и [Ni₉(OH)₃(H₂O)₆(HPO₄)₂(PW₉O₃₄)₃]¹⁶⁻ с несколькими ионами Ni(2+), в которых они образуют тримерные, тетрамерные и нонамерные структурные фрагменты, соединяющие лакунарные гетерополианионы [2]. Кроме того, сообщается об изучении структуры индивидуальных гетерополимолибдоникелата (2+) (NH₄)₄[H₆NiMo₆O₂₄]·4H₂O [3] и гетерополивольфрамоникелатов (2+) Na₄[Ni(OH)₆W₆O₁₈]·nH₂O ($n = 13$ [4], $n = 16$ [5]) со структурой Андерсона–Эванса, в которых никель имеет октаэдрическую координацию из шести гидроксильных групп и находится в центре гетерополианиона.

В то же время из соединений никеля с изополифольфрамат-анионами выделена и структурно охарактеризована соль [Ni(phen)(H₂O)₃]₂[Ni(H₂O)₅][H₂W₁₂O₄₀]·6H₂O с метавольфрамат-анионом структуры Кеггина [6]. Кроме того, в [4] отмечалось, что в условиях, характерных для получения паравольфраматов Б с кадмием Na₈[{Cd(H₂O)₂}₂(H₂W₁₂O₄₂)]₂·32H₂O и кобальтом Na₆[{Co(H₂O)₃} {Co(H₂O)₄} (H₂W₁₂O₄₂)]₂·29H₂O и (H₃O⁺)₃[{Na(H₂O)₄} {Co(H₂O)₄}₃(H₂W₁₂O₄₂)]₂·24,5H₂O, попытка выделить паравольфрамат Б никеля приводила к образованию гетерополисоединения Na₄[Ni(OH)₆W₆O₁₈]·13H₂O.

* E-mail: radiosv@rambler.ru

Данная работа продолжает начатое в [5] изучение фазообразования в системе $\text{Ni}(\text{NO}_3)_2$ — Na_2WO_4 — HNO_3 — H_2O и представляет итоги синтеза и определения кристаллической структуры паравольфрамата Б никеля $\text{Ni}_5[\text{W}_{12}\text{O}_{40}(\text{OH})_2] \cdot 37\text{H}_2\text{O}$.

ЭКСПЕРИМЕНТАЛЬНАЯ ЧАСТЬ

Исходные вещества. При проведении исследований были использованы водные растворы $\text{Na}_2\text{WO}_4 \cdot 2\text{H}_2\text{O}$ (чда), HNO_3 (хч), $\text{Ni}(\text{NO}_3)_2 \cdot 6\text{H}_2\text{O}$ (чда). Установление точных концентраций растворов исходных веществ проводили по стандартным методикам: Na_2WO_4 — гравиметрически (гравиметрическая форма WO_3 , $\delta = 0,5\%$) [7]; HNO_3 — кислотно-основным титрованием точной навески $\text{Na}_2\text{B}_4\text{O}_7 \cdot 10\text{H}_2\text{O}$ ($\delta = 0,5\%$) [8]; $\text{Ni}(\text{NO}_3)_2$ — гравиметрически (гравиметрическая форма $\text{Ni}(\text{C}_4\text{H}_7\text{N}_2\text{O}_2)_2$, $\delta = 0,5\%$) [9]. Раствор диметилглиоксимиа ($\omega = 1\%$) для осаждения никеля готовили по описанной в [8] методике, растворяя $\text{C}_4\text{H}_8\text{N}_2\text{O}_2$ (чда) в 96%-м этаноле.

Методика синтеза $\text{Ni}_5[\text{W}_{12}\text{O}_{40}(\text{OH})_2] \cdot 37\text{H}_2\text{O}$. Изополивольфраматы никеля получали из растворов $\text{Ni}(\text{NO}_3)_2$ — Na_2WO_4 — HNO_3 — H_2O , подкисленных до кислотности $Z = v(\text{H}^+)/v(\text{WO}_4^{2-}) = 1,17$ и $1,29$. Для этого к раствору Na_2WO_4 ($C = 0,5230$ моль/л, $V = 19,12$ мл) добавляли рассчитанный объем дистиллированной воды (из расчета, чтобы конечный объем составлял 100 мл) и при интенсивном перемешивании прикалывали раствор HNO_3 ($C = 0,7215$ моль/л; $V = 16,22$ мл для создания $Z = 1,17$ либо 17,89 мл для создания $Z = 1,29$). Затем приливали раствор $\text{Ni}(\text{NO}_3)_2$ ($C = 0,5093$ моль/л) до соотношения $C_{\text{W}}:C_{\text{Ni}} = 0,1:0,0625$ при $Z = 1,17$ и $C_{\text{W}}:C_{\text{Ni}} = 0,1:0,0523$ при $Z = 1,29$. Следует отметить, что образование осадков наблюдали приблизительно через 1 месяц после добавления $\text{Ni}(\text{NO}_3)_2$. Химический анализ выделенных фаз проводили по методике, подробно описанной в [5]. Содержание воды в солях определяли прокаливанием точных навесок воздушно-сухих образцов при 550°C .

Инструментальные методы исследования. ИК спектры записывали для воздушно-сухого образца, таблетированного в монокристаллическом КBr на ИК спектрометре с преобразователем Фурье FTIR Spectrum BXII (Perkin-Elmer) в области волновых чисел $\bar{\nu} = 400$ — 4000 cm^{-1} (массовая доля образца в матрице составляла 0,5 %).

Рентгеноструктурное исследование $\text{Ni}_5[\text{W}_{12}\text{O}_{40}(\text{OH})_2] \cdot 37\text{H}_2\text{O}$ выполнено на монокристалльном дифрактометре Xcalibur-3 (Oxford Diffraction) (MoK_α -излучение, $\lambda = 0,71073\text{ \AA}$, графитовый монохроматор, CCD-детектор Sapphire-3, ω/θ -сканирование в интервале $7,16 \leq 2\theta \leq 65^\circ$, 130056 измеренных отражений). Расшифровку и уточнение структуры выполняли по программе SHELX-97 [10], часть разупорядоченных молекул воды локализовать не удалось. Для анализа структуры и изготовления рисунков использованы программы WinGX [11] и Ball&Stick [12].

Основные кристаллографические данные: $\text{H}_{76}\text{Ni}_5\text{O}_{79}\text{W}_{12}$, $M_r = 3840,36$, моноклинный, пр. гр. $P2_1/c$, $a = 21,9061(6)$, $b = 14,9297(4)$, $c = 22,1391(6)\text{ \AA}$, $\beta = 107,609(3)^\circ$, $V = 6901,4(3)\text{ \AA}^3$ при $T = 293\text{ K}$, $Z = 4$, $\rho_{\text{выч}} = 3,696\text{ g/cm}^3$, $F_{000} = 6944$, $\mu = 21,368\text{ mm}^{-1}$, $-33 \leq h \leq 33$, $-22 \leq k \leq 22$, $-33 \leq l \leq 33$, 24679 независимых отражений ($R_{\text{int}} = 0,110$), из них 14265 наблюдаемых с $I_{hkl} > 2\sigma(I)$; окончательные показатели недостоверности по наблюдаемым отражениям $R_F = 0,0532$, $wR^2 = 0,0831$ ($R_F = 0,1088$, $wR^2 = 0,0894$ по всем независимым отражениям), $S = 0,978$. Координаты атомов и основные геометрические характеристики структуры приведены в табл. 1 и 2. На рис. 1 показана схема нумерации и эллипсоиды тепловых колебаний в $\text{Ni}_5[\text{W}_{12}\text{O}_{40}(\text{OH})_2] \cdot 37\text{H}_2\text{O}$. CIF-файл, содержащий полную информацию по исследованной структуре, депонирован в ICSD Database под номером CSD-421468 и может быть получен по запросу на сайте: http://www.fiz-karlsruhe.de/obtaining_crystal_structure_data.html.

РЕЗУЛЬТАТЫ И ИХ ОБСУЖДЕНИЕ

Известно [13, 14], что в подкисленных до $Z = 1,17$ водных растворах вольфрамата натрия происходит образование паравольфрамат Б-аниона по реакции:



Таблица 1

Координаты атомов ($\times 10^4$, Å) и эквивалентные тепловые поправки ($\times 10^3$, Å²) в структуре $\text{Ni}_5[\text{W}_{12}\text{O}_{40}(\text{OH})_2] \cdot 37\text{H}_2\text{O}$

Атом	<i>x</i>	<i>y</i>	<i>z</i>	<i>U</i> _{eq} *	Атом	<i>x</i>	<i>y</i>	<i>z</i>	<i>U</i> _{eq} *
1	2	3	4	5	6	7	8	9	10
W(1)	1576(1)	4783(1)	7194(1)	12(1)	O(33)	669(2)	5781(4)	5637(2)	17(1)
W(2)	1918(1)	9233(1)	7660(1)	10(1)	O(34)	1969(3)	3760(4)	7355(3)	22(1)
W(3)	1086(1)	8451(1)	6235(1)	12(1)	O(35)	3304(3)	5078(4)	6844(3)	25(1)
W(4)	3082(1)	6014(1)	7195(1)	10(1)	O(36)	1796(2)	5888(4)	5367(2)	17(1)
W(5)	3908(1)	6809(1)	8624(1)	13(1)	O(37)	466(2)	8820(4)	5601(3)	22(1)
W(6)	3416(1)	10456(1)	7651(1)	12(1)	O(38)	2857(3)	9451(4)	5624(3)	27(2)
W(7)	3716(1)	8081(1)	7341(1)	11(1)	O(39)	2216(3)	10714(4)	6071(3)	25(2)
W(8)	1284(1)	7163(1)	7514(1)	10(1)	O(40)	2826(3)	4528(4)	8765(3)	28(2)
W(9)	1462(1)	6106(1)	5975(1)	11(1)	O(41)	5662(3)	10096(4)	9497(3)	27(2)
W(10)	3529(1)	9150(1)	8871(1)	12(1)	O(42)	2155(3)	5728(4)	9232(3)	23(1)
W(11)	2560(1)	9652(1)	6256(1)	13(1)	O(43)	4537(3)	6443(4)	9243(3)	26(2)
W(12)	2446(1)	5574(1)	8590(1)	14(1)	O(44)	1847(3)	12182(4)	6589(3)	35(2)
Ni(1)	0	5000	5000	18(1)	O(45)	2933(3)	10260(4)	10547(3)	36(2)
Ni(2)	2496(1)	9258(1)	9928(1)	17(1)	O(46)	3153(3)	13038(4)	8250(3)	31(2)
Ni(3)	5000	10000	10000	20(1)	O(47)	-385(3)	5641(4)	7423(3)	37(2)
Ni(4)	21(1)	6402(1)	8229(1)	20(1)	O(48)	2022(3)	8325(4)	9277(2)	29(2)
Ni(5)	2493(1)	12619(1)	7421(1)	18(1)	O(49)	3041(3)	8349(4)	10543(3)	30(2)
Ni(6)	4993(1)	8885(1)	6650(1)	21(1)	O(50)	632(3)	5349(4)	8572(3)	33(2)
O(1)	1910(2)	7984(3)	7093(2)	9(1)	O(51)	419(3)	7184(4)	9003(3)	29(2)
O(2)	1303(2)	8385(3)	7816(2)	14(1)	O(52)	1968(3)	10272(4)	9352(3)	31(2)
O(3)	1972(2)	6831(3)	8141(2)	15(1)	O(53)	4676(3)	8023(4)	5897(3)	33(2)
O(4)	3703(2)	6868(3)	7045(2)	11(1)	O(54)	-601(3)	7450(5)	7878(3)	43(2)
O(5)	1188(2)	9372(3)	6810(2)	13(1)	O(55)	1948(3)	12019(4)	7933(3)	42(2)
O(6)	1357(2)	6242(3)	6936(2)	11(1)	O(56)	3023(3)	13231(4)	6905(3)	48(2)
O(7)	3016(2)	8415(3)	6731(2)	16(1)	O(57)	5683(3)	9360(4)	6275(3)	35(2)
O(8)	2435(2)	9721(3)	7205(2)	12(1)	O(58)	5309(3)	9732(4)	7424(3)	43(2)
O(9)	668(2)	7743(4)	6683(2)	19(1)	O(59)	643(3)	4818(4)	4494(3)	31(2)
O(10)	4324(2)	7521(3)	8173(2)	16(1)	O(60)	5280(4)	8679(4)	10234(4)	52(2)
O(11)	3386(2)	10104(4)	6825(2)	15(1)	O(61)	4343(3)	9854(5)	6190(4)	45(2)
O(12)	3669(2)	7914(4)	8967(2)	18(1)	O(62)	5626(3)	7921(5)	7103(3)	39(2)
O(13)	3200(2)	9332(4)	9488(2)	19(1)	O(63)	-625(3)	5949(5)	8656(3)	46(2)
O(14)	1809(2)	8946(3)	6005(2)	16(1)	O(64)	371(3)	3893(4)	5549(3)	37(2)
O(15)	3636(2)	9018(3)	7914(2)	13(1)	O(65)	5418(3)	11340(4)	8594(3)	28(2)
O(16)	2552(2)	8747(3)	8274(2)	16(1)	O(66)	1619(3)	6914(4)	9789(3)	31(2)
O(17)	2550(2)	5523(3)	7636(2)	13(1)	O(67)	3436(3)	8178(4)	5131(3)	26(2)
O(18)	3109(2)	7273(3)	7768(2)	11(1)	O(68)	523(3)	6078(4)	3557(3)	31(2)
O(19)	1618(2)	5142(3)	8022(2)	15(1)	O(69)	-257(3)	8642(5)	7091(4)	46(2)
O(20)	3800(2)	5858(3)	8032(2)	15(1)	O(70)	5346(4)	6659(6)	7955(4)	67(2)
O(21)	3224(2)	10280(3)	8434(2)	17(1)	O(71)	6553(4)	8243(6)	10832(4)	63(1)
O(22)	1759(2)	4982(3)	6419(2)	17(1)	O(72)	5332(4)	8782(6)	8521(4)	63(1)
O(23)	4312(2)	9503(4)	9220(2)	20(1)	O(73)	366(4)	3429(6)	3670(4)	63(1)
O(24)	1699(2)	10177(3)	8031(2)	17(1)	O(74)	1741(4)	3479(6)	5640(4)	63(1)
O(25)	643(2)	6809(3)	7773(2)	18(1)	O(75)	3446(6)	12129(8)	6193(5)	63(1)
O(26)	2448(2)	6480(3)	6574(2)	17(1)	O(76)	605(6)	2099(8)	5264(6)	63(1)
O(27)	4344(2)	8472(4)	7068(2)	19(1)	O(77)	814(6)	4841(8)	9774(5)	63(1)

Окончание табл. 1

1	2	3	4	5	6	7	8	9	10
O(28)	4218(3)	10750(4)	7939(3)	26(2)	O(78)	5696(7)	5711(9)	10000(6)	63(1)
O(29)	3176(2)	6311(4)	8854(2)	16(1)	O(79)	1398(6)	12902(8)	8699(5)	63(1)
O(30)	3022(3)	11488(4)	7489(3)	22(1)	O(80)	2994(12)	3944(16)	9959(11)	63(1)
O(31)	1332(2)	7340(3)	5896(2)	15(1)	O(81)	3500(40)	13380(50)	5380(40)	63(1)
O(32)	783(2)	4491(4)	6902(3)	23(1)	O(82)	2738(11)	11970(14)	10043(10)	63(1)

* U_{eq} определены как $1/3$ следа ортогонализованного тензора U_{ij} .

Таблица 2

Длины связей d , Å в структуре $\text{Ni}_5[\text{W}_{12}\text{O}_{40}(\text{OH})_2] \cdot 37\text{H}_2\text{O}$

Связь	d	Связь	d	Связь	d
W(1)—O(32)	1,715(5)	W(6)—O(8)	2,348(4)	W(12)—O(17)	2,194(5)
W(1)—O(34)	1,737(5)	W(7)—O(27)	1,761(5)	W(12)—O(3)	2,228(5)
W(1)—O(19)	1,884(5)	W(7)—O(7)	1,781(5)	Ni(1)—O(33)	2,060(5)
W(1)—O(22)	1,899(5)	W(7)—O(4)	1,923(5)	Ni(1)—O(59)	2,064(6)
W(1)—O(6)	2,265(5)	W(7)—O(15)	1,933(5)	Ni(1)—O(64)	2,067(6)
W(1)—O(17)	2,338(5)	W(7)—O(10)	2,094(5)	Ni(2)—O(49)	2,034(6)
W(2)—O(24)	1,769(5)	W(7)—O(18)	2,209(5)	Ni(2)—O(48)	2,048(6)
W(2)—O(16)	1,777(5)	W(8)—O(25)	1,752(5)	Ni(2)—O(45)	2,058(6)
W(2)—O(8)	1,877(5)	W(8)—O(3)	1,783(5)	Ni(2)—O(13)	2,060(5)
W(2)—O(2)	1,955(5)	W(8)—O(6)	1,917(5)	Ni(2)—O(36) ^{#1}	2,061(5)
W(2)—O(5)	2,079(4)	W(8)—O(2)	1,940(5)	Ni(2)—O(52)	2,089(6)
W(2)—O(1)	2,246(4)	W(8)—O(9)	2,110(5)	Ni(3)—O(23) ^{#2}	2,057(5)
W(3)—O(37)	1,722(5)	W(8)—O(1)	2,241(5)	Ni(3)—O(23)	2,057(5)
W(3)—O(5)	1,842(5)	W(9)—O(33)	1,741(5)	Ni(3)—O(60) ^{#2}	2,083(7)
W(3)—O(9)	1,868(5)	W(9)—O(36)	1,744(5)	Ni(3)—O(60)	2,083(7)
W(3)—O(14)	1,949(5)	W(9)—O(31)	1,865(5)	Ni(3)—O(41)	2,085(6)
W(3)—O(31)	1,960(5)	W(9)—O(22)	1,954(5)	Ni(3)—O(41) ^{#2}	2,085(6)
W(3)—O(1)	2,297(4)	W(9)—O(6)	2,219(5)	Ni(4)—O(25)	2,019(5)
W(4)—O(35)	1,739(6)	W(9)—O(26)	2,235(5)	Ni(4)—O(51)	2,039(6)
W(4)—O(26)	1,773(5)	W(10)—O(23)	1,736(5)	Ni(4)—O(63)	2,040(7)
W(4)—O(17)	1,881(5)	W(10)—O(13)	1,749(5)	Ni(4)—O(50)	2,055(6)
W(4)—O(4)	1,967(5)	W(10)—O(12)	1,872(5)	Ni(4)—O(54)	2,066(7)
W(4)—O(20)	2,050(5)	W(10)—O(21)	1,958(5)	Ni(4)—O(47)	2,074(6)
W(4)—O(18)	2,259(5)	W(10)—O(15)	2,209(5)	Ni(5)—O(30)	2,027(5)
W(5)—O(43)	1,712(5)	W(10)—O(16)	2,231(5)	Ni(5)—O(34) ^{#3}	2,035(5)
W(5)—O(10)	1,872(5)	W(11)—O(38)	1,740(6)	Ni(5)—O(44)	2,060(6)
W(5)—O(20)	1,897(5)	W(11)—O(39)	1,751(6)	Ni(5)—O(46)	2,060(6)
W(5)—O(12)	1,953(5)	W(11)—O(14)	1,890(5)	Ni(5)—O(56)	2,072(7)
W(5)—O(29)	1,970(5)	W(11)—O(11)	1,985(4)	Ni(5)—O(55)	2,081(7)
W(5)—O(18)	2,264(4)	W(11)—O(8)	2,201(5)	Ni(6)—O(27)	2,013(5)
W(6)—O(28)	1,734(6)	W(11)—O(7)	2,208(5)	Ni(6)—O(62)	2,039(7)
W(6)—O(30)	1,749(5)	W(12)—O(42)	1,739(6)	Ni(6)—O(53)	2,053(6)
W(6)—O(11)	1,884(5)	W(12)—O(40)	1,756(6)	Ni(6)—O(57)	2,060(6)
W(6)—O(21)	1,923(5)	W(12)—O(29)	1,884(5)	Ni(6)—O(61)	2,068(7)
W(6)—O(15)	2,238(5)	W(12)—O(19)	1,977(5)	Ni(6)—O(58)	2,073(6)

Примечание. Операции симметрии для получения эквивалентных атомов: #1 $x, -y+3/2, z+1/2$; #2 $-x+1, -y+2, -z+2$; #3 $x, y+1, z$.

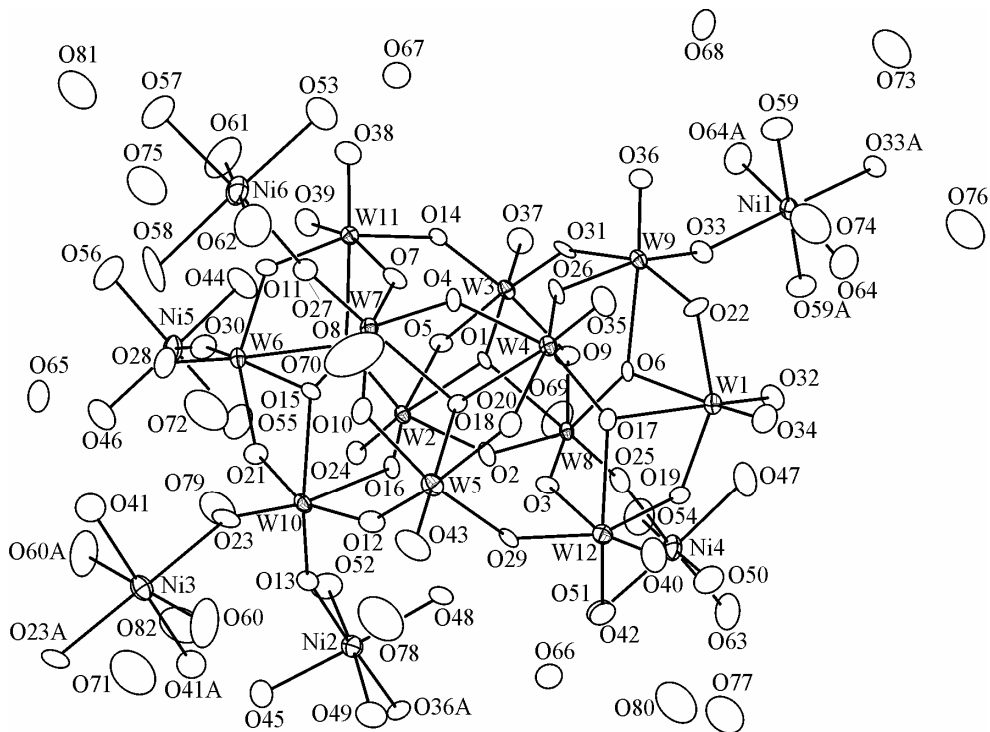


Рис. 1. Строение основной структурной единицы в $\text{Ni}_5[\text{W}_{12}\text{O}_{40}(\text{OH})_2] \cdot 37\text{H}_2\text{O}$ (симметрически эквивалентные атомы помечены буквой А).

Атомы Ni1 и Ni3 занимают частные положения в центрах симметрии; позиции молекул воды O75—O82 заполнены частично, суммарный коэффициент заполнения для них равен 4

В то же время, в подкисленных до $Z = 1,29$ водных растворах Na_2WO_4 происходит образование гидрогептавольфрамат-аниона по реакции:



Показано [14], что со временем в подкисленном до $Z = 1,29$ растворе происходит гидролитическое превращение $\text{HW}_7\text{O}_{24}^{5-}$ в протонированные формы аниона паравольфрамата Б:



Эти данные были взяты за основу при установлении возможности выделения неописанных ранее паравольфраматов с катионами никеля ($2+$).

Установлено, что из раствора $\text{Ni}(\text{NO}_3)_2 - \text{Na}_2\text{WO}_4 - \text{HNO}_3 - \text{H}_2\text{O}$ при $Z = 1,17$ происходит образование зеленого осадка, химический анализ которого показывает соотношение компонентов $\text{NiO}:\text{WO}_3:\text{H}_2\text{O} = 1:2,28:6,99$. ИК спектр выделенной фазы (рис. 2, а) в области колебаний вольфрам-кислородного каркаса ($400 - 1000 \text{ cm}^{-1}$) имеет сходство с ИК спектрами солей с гетерополианионом структуры Андерсона—Эванса $[\text{Ni}(\text{OH})_6\text{W}_6\text{O}_{18}]^{4-}$ [5] и паравольфрамата Б $[\text{W}_{12}\text{O}_{40}(\text{OH})_2]^{10-}$ [14, 15]. Следовательно, можно предположить образование смеси $0,10\text{Ni}_2 \cdot [\text{Ni}(\text{OH})_6\text{W}_6\text{O}_{18}] \cdot 13\text{H}_2\text{O} + 0,14\text{Ni}_5[\text{W}_{12}\text{O}_{40}(\text{OH})_2] \cdot 37\text{H}_2\text{O}$ (найдено (вычислено), мас. %: NiO 10,22 (10,26), WO_3 72,35 (72,61), H_2O 17,22 (17,13)).

В случае растворов $\text{Ni}(\text{NO}_3)_2 - \text{Na}_2\text{WO}_4 - \text{HNO}_3 - \text{H}_2\text{O}$ при $Z = 1,29$ происходит образование зеленых кристаллов, химический анализ которых показывает соотношение компонентов $\text{NiO}:\text{WO}_3:\text{H}_2\text{O} = 1:2,47:7,80$. При этом следует отметить, что если подкисленный до $Z = 1,29$ раствор вольфрамата натрия выдержать 2 месяца и затем добавить нитрат никеля, то спустя 1 месяц происходит образование зеленых кристаллов, химический анализ которых показывает соотношение компонентов $\text{NiO}:\text{WO}_3:\text{H}_2\text{O} = 1:2,65:7,38$. ИК спектры выделенных фаз (см. рис. 2, б, в) аналогичны описанному в [15] ИК спектру паравольфрамата Б натрия $\text{Na}_{10}[\text{W}_{12}\text{O}_{40}(\text{OH})_2] \cdot$

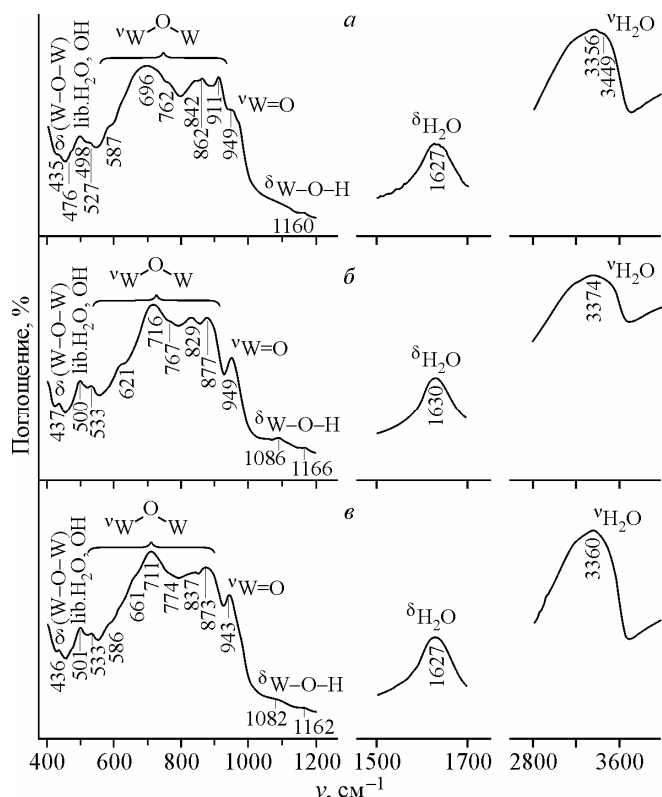


Рис. 2. ИК спектры: *α* — смеси $\text{Ni}_2[\text{Ni}(\text{OH})_6\text{W}_6\text{O}_{18}] \cdot 13\text{H}_2\text{O}$ и $\text{Ni}_5[\text{W}_{12}\text{O}_{40} \times (\text{OH})_2] \cdot 37\text{H}_2\text{O}$, выделенной при $Z = 1,17$; *β* — $\text{Ni}_5[\text{W}_{12}\text{O}_{40}(\text{OH})_2] \cdot 37\text{H}_2\text{O}$ ($Z = 1,29$); *γ* — $\text{Ni}_{4,5}\text{H}[\text{W}_{12}\text{O}_{40}(\text{OH})_2] \cdot 32\text{H}_2\text{O}$ ($Z = 1,29$)

$\cdot 26\text{H}_2\text{O}$. Это свидетельствует о наличии в полученных солях анионов $[\text{W}_{12}\text{O}_{40}(\text{OH})_2]^{10-}$ и позволяет приписать формулы среднего и кислого паравольфрамата Б никеля: $\text{Ni}_5[\text{W}_{12}\text{O}_{40}(\text{OH})_2] \cdot 37\text{H}_2\text{O}$ (найдено (вычислено), мас.%: NiO 9,51 (9,72), WO_3 72,81 (72,45), H_2O 17,88 (17,83)). $\text{Ni}_{4,5}\text{H}[\text{W}_{12}\text{O}_{40}(\text{OH})_2] \cdot 32\text{H}_2\text{O}$ (найдено (вычислено), мас.%: NiO 9,01 (9,03), WO_3 74,03 (74,75), H_2O 16,04 (16,22)).

Следует отметить, что попытка выделить гидрогептавольфрамат никеля $\text{Ni}_5[\text{HW}_7\text{O}_{24}]_2 \cdot x\text{H}_2\text{O}$ из раствора $\text{Ni}(\text{NO}_3)_2 - \text{Na}_2\text{WO}_4 - \text{HNO}_3 - \text{H}_2\text{O}$ при $Z = 1,29$ добавлением ацетона (50 % по объему) приводит к образованию стеклообразного осадка зеленого цвета с соотношением компонентов $\text{NiO}:\text{WO}_3:\text{H}_2\text{O} =$

= 1:3,35:8,33. Неразрешенный ИК спектр и отсутствие рефлексов на рентгенограмме не дают возможности однозначно идентифицировать данный осадок.

Для проведения рентгеноструктурного анализа был взят монокристалл $\text{Ni}_5[\text{W}_{12}\text{O}_{40}(\text{OH})_2] \cdot 37\text{H}_2\text{O}$, расшифровка структуры которого показала, что все атомы металлов в структуре находятся в октаэдрическом окружении. Как и в подобном кобальтовом паравольфрамате $\text{Co}_5[\text{W}_{12}\text{O}_{40}(\text{OH})_2] \cdot 34\text{H}_2\text{O}$, отличающимся содержанием кристаллизационной воды [16], в структуре $\text{Ni}_5[\text{W}_{12}\text{O}_{40}(\text{OH})_2] \cdot 37\text{H}_2\text{O}$ наблюдаются анионы $[\text{W}_{12}\text{O}_{40}(\text{OH})_2]^{10-}$, построенные из октаэдров WO_6 и окруженные октаэдрами NiO_6 и молекулами воды. Строение структурной единицы в $\text{Ni}_5[\text{W}_{12}\text{O}_{40}(\text{OH})_2] \cdot 37\text{H}_2\text{O}$ показано на рис. 1. Расстояния W—O лежат в пределах

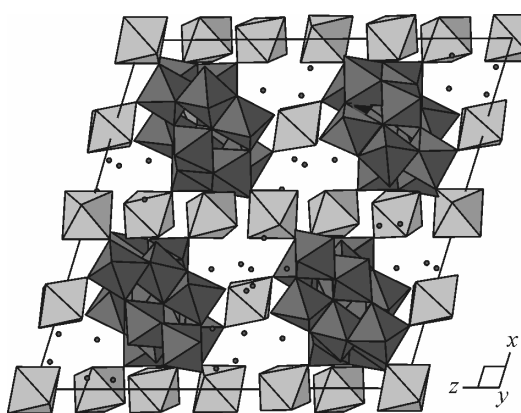


Рис. 3. Проекция структуры $\text{Ni}_5[\text{W}_{12}\text{O}_{40}(\text{OH})_2] \cdot 37\text{H}_2\text{O}$ вдоль оси *y* (октаэдры NiO_6 обозначены светло-серым, WO_6 — темно-серым, атомы кислорода молекул воды — точками)

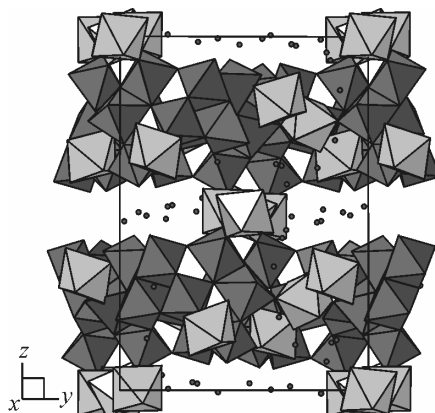


Рис. 4. Проекция структуры $\text{Ni}_5[\text{W}_{12}\text{O}_{40}(\text{OH})_2] \cdot 37\text{H}_2\text{O}$ вдоль оси *x* (октаэдры NiO_6 обозначены светло-серым цветом, WO_6 — темно-серым, атомы кислорода молекул воды — точками)

1,715—2,348 Å (см. табл. 2). Углы в WO_6 лежат в пределах 70,8—103,8° и 150,7—178,7°, что свидетельствует о значительном искажении этих октаэдров. В октаэдрах NiO_6 расстояния Ni—O находятся в пределах 2,013—2,089 Å (см. табл. 2) и углы O—Ni—O в пределах 86,6—94,0° и 175,4—180,0°. На рис. 3 показана проекция структуры $\text{Ni}_5[\text{W}_{12}\text{O}_{40}(\text{OH})_2] \cdot 37\text{H}_2\text{O}$. При помощи октаэдров NiO_6 происходит "сшивка" паравольфрамат Б-анионов в трехмерную структуру, как и в структуре [16], однако, по сравнению с последней, октаэдры NiO_6 упакованы более регулярно — они расположены в основном в кристаллографических плоскостях (1 0 0) либо в каналах вдоль направления [1 0 0]. В результате этого в структуре наблюдаются полости вдоль [1 0 0], в которых находятся только молекулы воды (рис. 4), часть из которых разупорядочена (атомы O73—O82 в табл. 1).

Таким образом, установлена возможность выделения индивидуального паравольфрамата Б никеля $\text{Ni}_5[\text{W}_{12}\text{O}_{40}(\text{OH})_2] \cdot 37\text{H}_2\text{O}$ из раствора $\text{Ni}(\text{NO}_3)_2$ — Na_2WO_4 — HNO_3 — H_2O при $Z = 1,29$. Выделенная соль охарактеризована методами химического анализа, ИК спектроскопии и рентгеноструктурного анализа.

СПИСОК ЛИТЕРАТУРЫ

1. Bosing M., Loose I., Pohlmann H., Krebs B. // Chem.-A. Eur. J. – 1997. – **3**, N 8. – P. 1232.
2. Clemente-Juan J.M., Coronado E., Galan-Mascaro J.R., Gomez-Garcia C.J. // Inorg. Chem. – 1999. – **38**, N 1. – P. 55.
3. Lee U., Joo H.-C., Kwon J.-S. // Acta Crystallogr. Sect. E. – 2002. – **E58**. – P. i6.
4. Sun C.-Y., Liu S.-X., Xie L.-H. et al. // J. Solid State Chem. – 2006. – **179**, N 7. – P. 2093.
5. Розанцев Г.М., Радио С.В., Гумерова Н.И. и др. // Журн. структур. химии. – 2009. – **50**, № 2. – С. 311. Rozantsev G.M., Radio S.V., Gumerova N.I. et al. // J. Struct. Chem. – 2009. – **50**, N 2. – P. 296.
6. Wang J., Ren Q., Zhao J., Niu J. // J. Coord. Chem. – 2008. – **61**, N 2. – P. 192.
7. Шарло Г. Методы аналитической химии. Количественный анализ неорганических соединений. – Л.: Химия, 1965. – С. 597 – 602.
8. Коростелев П.П. Приготовление растворов для химико-аналитических работ. – М.: Наука, 1964. – С. 87 – 88, 227 – 230.
9. Гиллебранд В.Ф., Лендель Г.Э., Брайт Г.А. и др. Практическое руководство по неорганическому анализу. – М.: Химия, 1966. – С. 460 – 463.
10. Sheldrick G.M. // Acta Crystallogr. Sect. A. – 2008. – **64**. – P. 112.
11. Farrugia L.J. // J. Appl. Crystallogr. – 1999. – **32**, N 4. – P. 837.
12. Ozawa T.C., Kang S.J. // J. Appl. Crystallogr. – 2004. – **37**, N 4. – P. 679.
13. Cruywagen J.J., Merve F.I. Van der // J. Chem. Soc. Dalton Trans. – 1987. – N 7. – P. 1701.
14. Rozantsev G.M., Radio S.V., Gumerova N.I. // Pol. J. Chem. – 2008. – **82**, N 11. – P. 2067.
15. George B.L., Aruldas G., Botto I.L. // J. Mater. Sci. Lett. – 1992. – **11**, N 21. – P. 1421 – 1423.
16. Žák Z., Peroutka J., Havel J. et al. // J. Alloys and Comp. – 1998. – **281**, N 2. – P. 169.